

УДК 66.092-977

## ПИРОЛИЗ МИКРОЧАСТИЦ УГЛЕЙ ПРИ ВОЗДЕЙСТВИИ ЛАЗЕРНЫХ ИМПУЛЬСОВ НАНОСЕКУНДНОЙ ДЛИТЕЛЬНОСТИ

Б. П. Адуев, Я. В. Крафт, В. Д. Волков, Н. В. Нелюбина

Федеральный исследовательский центр угля и углехимии СО РАН, 650000 Кемерово,  
lesinko-iuxm@yandex.ru

Приведены результаты пиролиза таблетированных микрочастиц ( $1 \text{ г}/\text{см}^3$ ) бурого, длиннопламенного газового, газового, жирного и коксового углей в среде аргона при воздействии лазерных импульсов (1064 нм, 12 нс, 6 Гц,  $0.2 \div 0.5 \text{ Дж}/\text{см}^2$ ), в результате которого происходит ряд нелинейных процессов: 1) абляция образцов взрывного характера с выбросом микрочастиц размерами  $10 \div 60 \text{ мкм}$  при достижении плотности энергии излучения  $0.1 \div 0.2 \text{ Дж}/\text{см}^2$ ; 2) оптический пробой, локализованный на микровыступах, на поверхности угольных частиц, испарение микровыступов и напыление тонкой пленки аморфного углерода на стенки реактора; 3) инициирование в каналах пробоя термохимических реакций, приводящих к выходу газообразных продуктов, концентрация которых нелинейно увеличивается с ростом плотности энергии лазерных импульсов. Зарегистрированы молекулярные газы  $\text{H}_2$ ,  $\text{CH}_4$ ,  $\text{C}_2\text{H}_2$ ,  $\text{CO}$ ,  $\text{CO}_2$ . Установлены зависимости состава газообразных продуктов пиролиза углей от их технических и генетических характеристик.

Ключевые слова: уголь, пиролиз, лазерное излучение, оптический пробой, массспектрометрия, абляция.

DOI 10.15372/FGV2023.9422

EDN RGJNAZ

### ВВЕДЕНИЕ

В литературе накоплены данные по процессам термохимической конверсии угля (см., например, работы [1–6]). Особый интерес представляют исследования, проведенные в условиях высокоскоростного нагрева угля с быстрым пробоотбором продуктов пиролиза (например, [7, 8]). Подобные условия позволяют ограничить протекание вторичных реакций полимеризации и поликонденсации.

Мы предлагаем использовать лазерное излучение малой длительности для высокоскоростного нагрева угля, а анализ продуктов пиролиза проводить с помощью массспектрометра, работающего в режиме онлайн. Лазерное излучение использовалось ранее для исследования процессов термохимической конверсии углей [9–16]. В работах [9–13] показано, что при лазерном пиролизе углей преимущественно образуются низкомолекулярные газы:  $\text{H}_2$ ,  $\text{CO}$  и  $\text{CH}_4$ . В [12] установлено, что объем образующихся газообразных продуктов лазерного пиролиза углей возрастает с уменьшением размера частиц угля. В работе [14] показано, что с ростом содержания водорода в органической массе угля, а также с увеличением показателя выхода летучих веществ возрастает объем образующихся газообразных продуктов лазерного пиролиза. В [15] установлено, что в результате воздействия излучения  $\text{CO}_2$ -лазера секундной длительности при мощности излучения 130 Вт температура поверхности образца угля достигает 2900 К. В [16] показано, что увеличение времени воздействия и мощности лазерного излучения приводит к возрастанию выхода газообразных продуктов пиролиза в ограниченном диапазоне, но чрезмерное их увеличение может снизить выход продуктов пиролиза.

Оригинальность наших исследований заключается в использовании широкого набора углей, отражающего ряд метаморфизма углей. Ранее нами было проведено исследование пиролиза углей различных марок под воздействием импульсно-периодического микросекундного (120 мкс, 1064 нм) и наносекундного (10 нс, 532 нм) лазерного излучения [17–21]. В случае микросекундного лазерного излучения в составе газообразных продуктов пиролиза образцов бурого угля обнаружены  $H_2$ ,  $CH_4$ ,  $H_2O$ ,  $CO$  и  $CO_2$  [17, 18]. При лазерном пиролизе таблетированных образцов углей различных марок в среде аргона наблюдается корреляционная связь между долей прореагированного образца и техническими и генетическими характеристиками углей [18]. В случае наносекундного лазерного излучения, помимо ранее обнаруженных компонентов  $H_2$ ,  $CH_4$ ,  $H_2O$ ,  $CO$  и  $CO_2$ , зарегистрировано образование  $C_2H_2$ . Установлено, что при воздействии наносекундного лазерного излучения на таблетированные образцы углей в среде аргона объем образующихся горючих газов на единицу массы прореагированного образца угля возрастает с увеличением плотности энергии в определенном диапазоне [19, 21].

Настоящая работа является продолжением и развитием работ [17–21]. Представлены результаты исследования пиролиза таблетированных образцов углей различных марок при воздействии импульсно-периодического лазерного излучения наносекундной длительности в условиях, аналогичных [20, 21], но с использованием первой гармоники YAG:Nd<sup>3+</sup>-лазера (14 нс, 1064 нм). Детальный анализ полученных экспериментальных данных позволил разделить вклады абляции и газообразования, предложить модель зависимости выхода газов от плотности энергии излучения в угольных материалах в процессе термохимической конверсии и установить связь образующихся газообразных продуктов с техническими и генетическими характеристиками углей.

Практическая значимость работы обусловлена перспективами разработки новых подходов к управлению процессами термического разложения углей. В частности, полученные результаты могут найти применение при разработке газогенераторов, предназначенных для преобразования угля в газообразное топливо и в сырье для синтеза химических продуктов, к примеру, для получения синтез-газа с последующим производством метанола, диметилового эфира. В [22] предложено газифицировать и воспламенять частицы угля воздействием лазерного излучения. В [23] предложен способ получения кокса сухой перегонкой путем нагревания загруженной в камеру коксования угольной массы до температуры 1 100 °С излучением нескольких лазеров с большой плотностью энергии. Технический результат — снижение капитальных затрат, уменьшение себестоимости кокса и увеличение производительности установки для получения кокса [23].

## 1. ОБЪЕКТЫ И МЕТОДИКА ЭКСПЕРИМЕНТА

В качестве объектов исследования использовали угли Кузнецкого бассейна: бурый (Б), длиннопламенный газовый (ДГ), газовый (Г), жирный (Ж) и коксовый (К). В табл. 1 представлены результаты технического и элементного анализа углей. На элементном анализаторе Flash 2000 определяли содержание С, Н, N, S, O, рассчитанные на органическую массу угля.

Показатели технического анализа углей определялись по стандартным методикам (ГОСТ Р 53357, 52917, 55660, 55661). Предел сходимости (т. е. расхождение результатов двух параллельных измерений, проведенных в одной лаборатории) по влажности бурого угля не превышал 3 %, а каменных углей — 0.3 %. Предел сходимости по выходу летучих веществ бурого угля не превышал 3 %, каменных — 0.5 %. Предел сходимости по зольности образцов углей не превышал 0.3 %.

С использованием этих результатов рассчитаны значения атомных отношений Н/С

Таблица 1

## Результаты технического и элементного анализа углей

Марка угля	Технический анализ, % (мас.)			Элементный анализ, % (мас.)					H/C	O/C	$f_a$	$d_r^d$ [24], г/см <sup>3</sup>
	$W^a$	$A^d$	$V^{daf}$	C	H	N	S	O				
Б	11.8	10.1	53.3	61.4	5.1	1.0	0.5	31.9	1.00	0.42	0.57	1.65
ДГ	5.7	4.7	42.6	74.3	5.3	2.3	0.3	17.7	0.87	0.19	0.65	1.42
Г	1.2	3.3	40.4	81.3	5.8	3.1	0.2	9.6	0.85	0.09	0.67	1.31
Ж	0.8	7.8	33.3	80.2	5.2	3.0	0.4	11.2	0.78	0.11	0.72	1.40
К	0.6	4.9	21.3	87.7	4.6	2.2	0.4	5.1	0.64	0.05	0.81	1.37

Примечания.  $W^a$  — влажность аналитическая,  $A^d$  — зольность на сухую массу,  $V^{daf}$  — показатель выхода летучих веществ на сухую беззольную массу,  $f_a$  — индекс ароматичности,  $d_r^d$  — действительная плотность угля, рассчитанная по [24].

и О/С для исследованных марок угля, значения индекса ароматичности взяты из работы [21] (см. табл. 1).

Для изготовления образцов угля измельчали в шаровой мельнице АГО-2, затем просеивали через вибрационное сито с размером ячеек 63 мкм. С использованием лазерного дифрактометра Analysette 22 Comfort установлено, что размер частиц угля находился в диапазоне 0.5  $\div$  63 мкм. Максимальное количество частиц приходилось на размер 10  $\div$  40 мкм.

Для увеличения механической прочности таблетированных образцов углей использовался 1%-й раствор поливинилового спирта (ПВС) в воде.

Смесевой состав для последующего прессования готовили следующим способом. Навеску угля 2 г помещали в агатовую ступку и смачивали 5 каплями этилового спирта, затем добавляли 1 мл 1%-го раствора ПВС. Полученную суспензию гомогенизировали при помощи пестика. Далее состав нагревали на водяной бане при температуре 80 °С в течение 15 мин. После остывания смесь помещали в стеклянный бюкс.

Таблетированные образцы диаметром 6.2 мм и высотой 2.5 мм получали методом прессования частиц угля при давлении 2.5 МПа. Подготовленные образцы просушивали до воздушно-сухого состояния. Содержание влаги в аналитической пробе углей (см. табл. 1) и в таблетированных образцах идентично. Масса образцов составляла 75 мг, плотность —  $1.00 \pm 0.02$  г/см<sup>3</sup>. Отношение плотности таблетированных образцов к расчетному значению действительной плотности углей находится в диапазоне 0.61  $\div$  0.76. Содержание поливинилового спирта в образцах 0.005 % (мас.).

Функциональная схема экспериментальной установки для исследования состава газообразных продуктов пиролиза образцов углей приведена на рис. 1.

В качестве источника лазерного излучения использовался YAG:Nd<sup>3+</sup>-лазер SOLAR Laser Systems LQ929, работающий в режиме модуляции добротности на длине волны 1064 нм. Длительность импульса 14 нс. Диаметр лазерного пучка в месте расположения образца — 6 мм. Частота следования импульсов лазерного излучения составляла  $f = 6$  Гц.

Эксперименты проводились в среде аргона высокой чистоты (99.9 %). Мощность излучения регулировалась с помощью стеклянных нейтральных светофильтров (1) с известными коэффициентами ослабления. Для контроля мощности часть излучения (8 %) отводилась прозрачной стеклянной пластиной (2) на пироэлектрический приемник Ophir

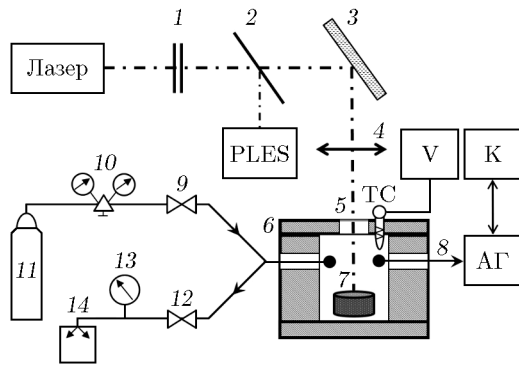


Рис. 1. Функциональная схема экспериментальной установки:

1 — нейтральные светофильтры, 2 — светоделительная пластина, 3 — поворотное зеркало, 4 — линза, 5 — окно экспериментальной камеры, 6 — экспериментальная камера ( $D = 80$  мм,  $h = 150$  мм), 7 — образец, 8 — капиллярная трубка масс-спектрометра, 9, 12 — запорный вентиль, 10 — газовый редуктор, 11 — баллон газовый, 13 — вакуумметр, 14 — форвакуумный насос, PLES — пироэлектрический приемник, АГ — анализатор газов, К — компьютер, ТС — термометр сопротивления, В — милливольтметр

Photronics PE50BF-C (PLES). Нестабильность энергии импульса лазера не превышала 2 %. С помощью поворотного зеркала (3) и фокусирующей линзы (4) излучение направлялось на образец (7).

Из камеры объемом 0.75 л форвакуумным насосом (14) откачивался воздух до остаточного давления 0.01 Торр. Для контроля давления использовался термопарный вакуумметр (13). Поток напускаемого в экспериментальную камеру аргона регулировался газовым редуктором (10) на баллоне (11).

Для регистрации газообразных продуктов использовался анализатор газов SRS QMS 300. Ионизация газов в анализаторе осуществлялась посредством электронного удара пучком с энергией 70 эВ. Первоначально в каждой серии опытов анализ проводился в интервале 1  $\div$  300 а.е.м. В зарегистрированных масс-спектрах продуктов, образованных при воздействии лазерного излучения на образцы углей, не обнаружены высокомолекулярные пики, и в дальнейшем анализ выполнялся в интервале 1  $\div$  65 а.е.м.

Отбор газов из экспериментальной камеры проводился непрерывно при помощи капиллярной трубки (8), соединенной с анализатором газов.

Как показал эксперимент, механическая прочность образцов в условиях эксперимента нарушалась при плотности энергии лазерных импульсов  $H > 0.5$  Дж/см<sup>2</sup>, а чувствительность аппаратуры позволяла регистрировать газообразные продукты при  $H > 0.2$  Дж/см<sup>2</sup>. В связи с этим плотность энергии лазерного излучения варьировалась в диапазоне 0.2  $\div$  0.5 Дж/см<sup>2</sup> с шагом 0.1 Дж/см<sup>2</sup>.

Время воздействия лазерного излучения на образцы углей в каждом эксперименте составляло 25 мин. За время эксперимента на образец воздействует  $N = ft = 9\,000$  имп, при этом суммарное время воздействия излучения на образец равно 126 мкс.

Образец угля помещался в экспериментальную камеру, наполненную аргоном до давления 500 Торр.

Перерасчет зарегистрированных анализатором различных ионов газов, образующихся в ионном источнике прибора, в единицы измерения давления  $p$  проводился автоматически с помощью программного обеспечения, поставляемого производителем прибора.

Концентрация каждого газообразного продукта  $n_i$  вычислялась с использованием ос-

новного уравнения молекулярно-кинетической теории газов:

$$n_i = p_i/kT, \quad (1)$$

где  $p_i$  — парциальное давление зарегистрированных газообразных продуктов,  $k$  — постоянная Больцмана,  $T$  — температура, измеренная термометром сопротивления.

Массы  $m_i$  газообразных продуктов рассчитывались по формуле

$$m_i = M_i \frac{p_i V_0}{RT} = M_i \frac{n_i V_0}{N_A}, \quad (2)$$

при этом использовалось уравнение Менделеева — Клапейрона

$$p_i V_0 = \frac{m_i}{M_i} RT. \quad (3)$$

Здесь  $V_0$  — объем экспериментальной камеры,  $R$  — универсальная газовая постоянная,  $M_i$  — молярная масса газа,  $N_A$  — постоянная Авогадро.

До начала эксперимента и после лазерного воздействия образцы взвешивались на аналитических весах SHINKO VIBRA HT-84RCE с точностью до 0.1 мг.

При каждой используемой плотности излучения проводилась серия экспериментов с пятью образцами и регистрировался выход газообразных продуктов во времени. В дальнейших расчетах использовались средние значения. Расчет ошибки измерений проводился по методу Стьюдента.

## 2. РЕЗУЛЬТАТЫ ЭКСПЕРИМЕНТОВ

В первой серии экспериментов измерялись масс-спектры газовой фазы над образцами углей, подвергнутых воздействию лазерного излучения с длиной волн 1064 нм в диапазоне плотностей энергии  $H = 0.2 \div 0.5$  Дж/см<sup>2</sup>. Для всех марок углей зарегистрированы группы пиков с массовыми числами  $m/z = 2, 1; m/z = 16, 15, 14, 13; m/z = 26, 25, 14, 13; m/z = 28, 12, 16, 19; m/z = 44, 28, 16, 12$ .

Первая группа пиков соответствует молекулярному водороду  $H_2$  с пиком молекулярного иона  $m/z = 2$ , вторая группа — метану  $CH_4$  с пиком  $m/z = 16$ , третья — ацетилену  $C_2H_2$  с пиком  $m/z = 26$ , четвертая — оксиду  $CO$  с пиком  $m/z = 28$ , пятая группа — оксиду  $CO_2$  с пиком  $m/z = 44$ . Сравнение относительных интенсивностей этих пиков с каталожными значениями, а также учет диссоциативной ионизации молекул  $H_2$ ,  $C_2H_2$ ,  $CH_4$ ,  $CO$  и  $CO_2$  позволяют установить истинную интенсивность этих пиков для перечисленных газообразных продуктов.

На рис. 2 приведены зависимости парциального давления газообразных продуктов пиролиза угля марки ДГ от числа импульсов лазерного излучения в импульсно-периодическом режиме при различных плотностях энергии лазерных импульсов  $H$ . Для остальных марок угля наблюдается качественно аналогичная картина.

На рис. 3 приведены результаты расчета концентраций газообразных продуктов пиролиза  $H_2$ ,  $CO$  и  $CO_2$  для всех марок угля в зависимости от плотности энергии излучения после окончания лазерного воздействия. Газообразные продукты  $C_2H_2$  и  $CH_4$  для большинства марок угля регистрировались только при самых высоких плотностях энергии излучения.

Суммарное расчетное значение масс газообразных продуктов  $m_g$  пиролиза для всех марок угля при различных плотностях энергии излучения в момент окончания лазерного воздействия представлены в табл. 2. Кроме того, в табл. 2 приведены значения убыли массы  $\Delta m$  после каждой серии лазерного воздействия, полученные по результатам взвешивания на аналитических весах:

$$\Delta m = m_1 - m_2, \quad (4)$$

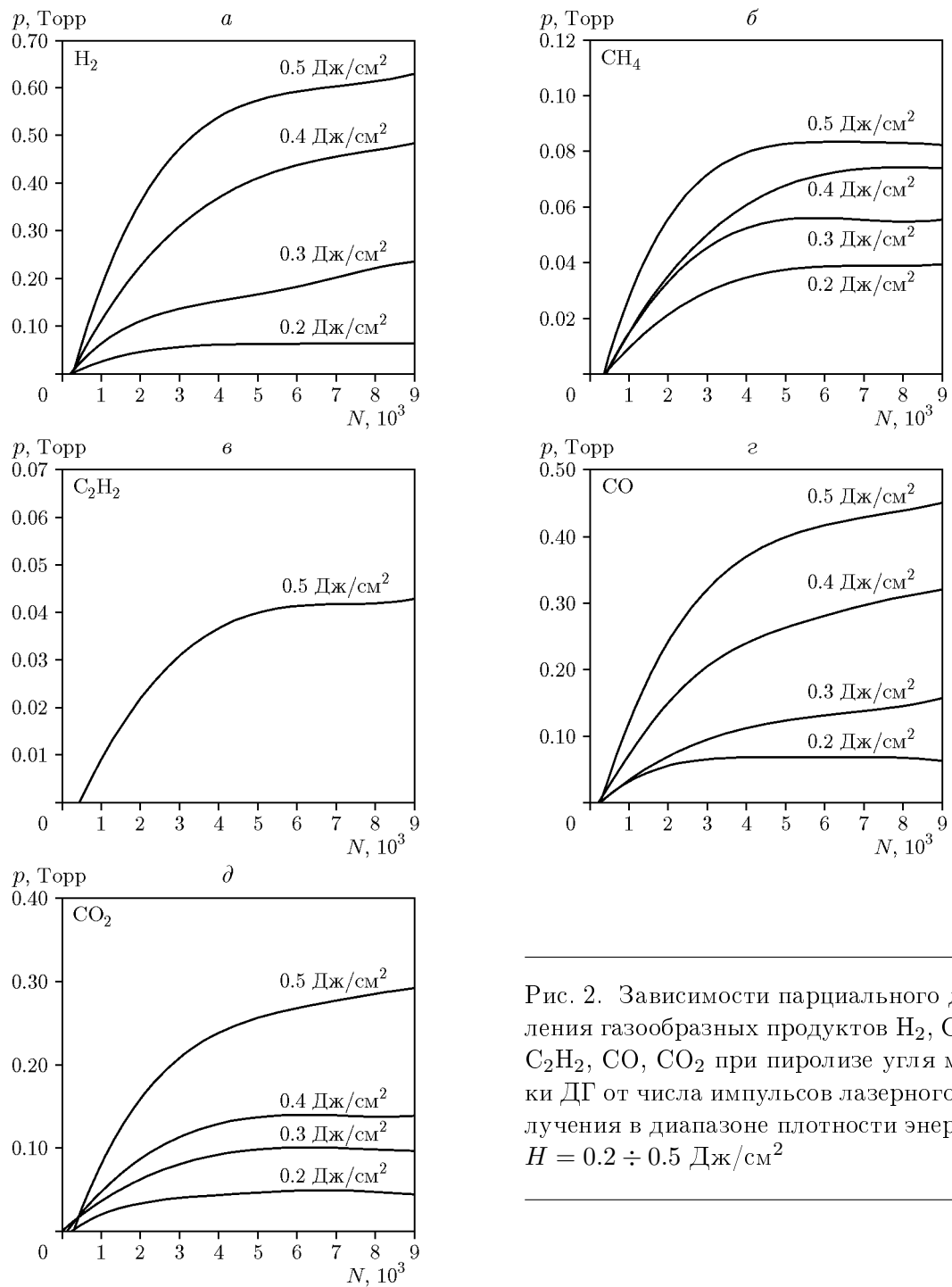


Рис. 2. Зависимости парциального давления газообразных продуктов  $\text{H}_2$ ,  $\text{CH}_4$ ,  $\text{C}_2\text{H}_2$ ,  $\text{CO}$ ,  $\text{CO}_2$  при пиролизе угля марки ДГ от числа импульсов лазерного излучения в диапазоне плотности энергии  $H = 0.2 \div 0.5 \text{ Дж}/\text{см}^2$

где  $m_1$  — масса образца угля до лазерного воздействия,  $m_2$  — масса образца угля после лазерного воздействия. В табл. 2 также указана величина

$$m_{abl} = \Delta m - m_g, \quad (5)$$

где  $m_g$  — суммарная масса газообразных продуктов, зарегистрированных после окончания лазерного воздействия.

После воздействия лазерного импульса на образцы углей на стенках эксперименталь-

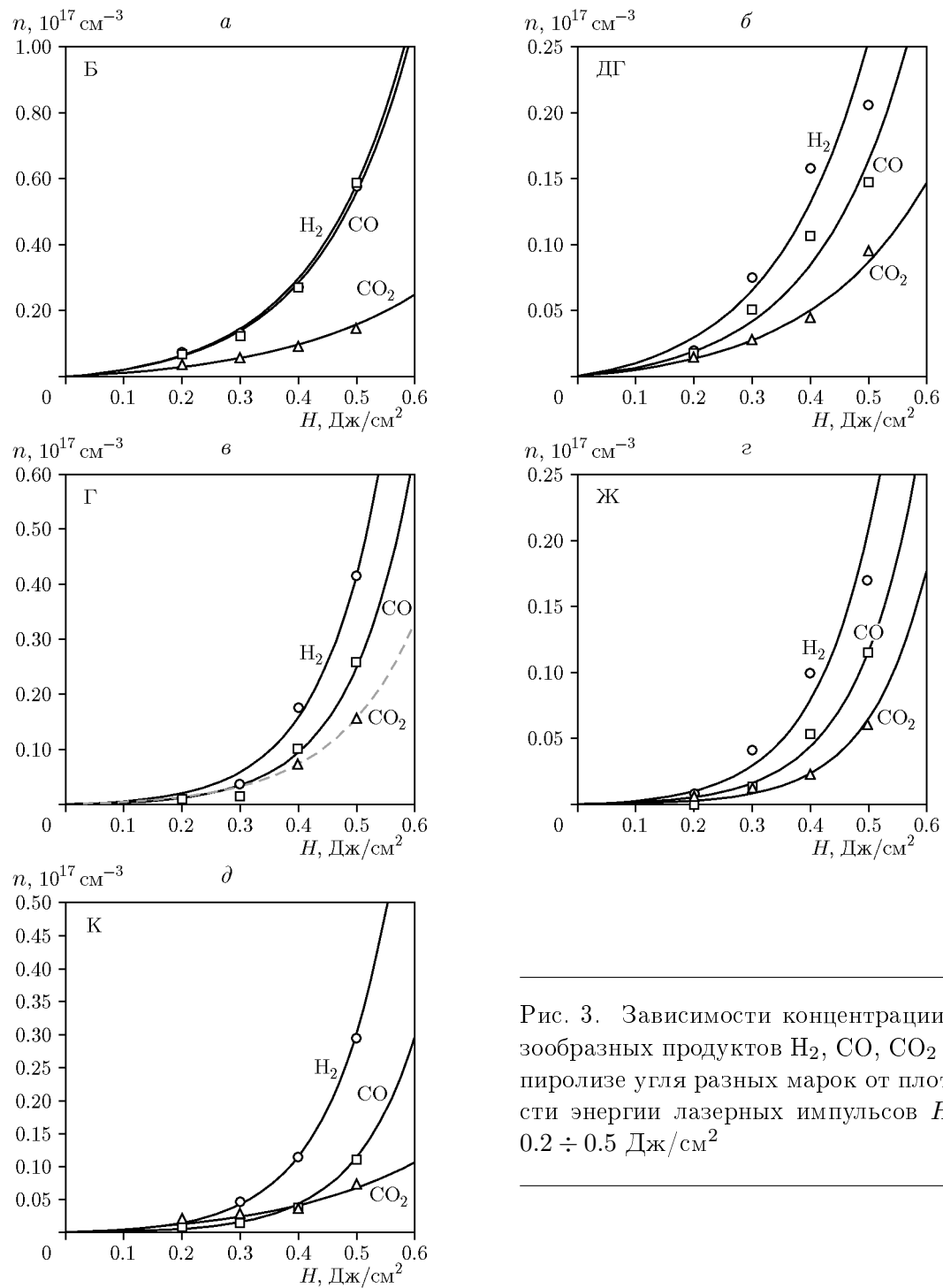


Рис. 3. Зависимости концентрации газообразных продуктов  $\text{H}_2$ ,  $\text{CO}$ ,  $\text{CO}_2$  при пиролизе угля разных марок от плотности энергии лазерных импульсов  $H = 0.2 \div 0.5 \text{ Дж}/\text{см}^2$

ной камеры наблюдалось напыление продуктов черного цвета. Очевидно, что это связано с абляцией образцов под воздействием лазерных импульсов. В связи с этим мы считаем величину  $m_{abl}$ , определяемую по (5) и представленную в табл. 2, массой продуктов абляции образцов. Зависимости  $m_{abl}$  от плотности энергии излучения для всех марок угля, построенные по данным табл. 2, представлены на рис. 4.

Для исследования процесса абляции была проведена вторая серия экспериментов. Ис-

Таблица 2  
Масса газообразных продуктов, потеря массы и масса абляции  
после окончания лазерного воздействия

Марка угля	$H$ , Дж/см <sup>2</sup>	$m_g$ , мг	$\Delta m$ , мг	$m_{abl}$ , мг
Б	0.2	1.4 ± 0.1	0.5 ± 0.1	0.9 ± 0.1
	0.3	3.1 ± 0.3	0.8 ± 0.1	2.3 ± 0.3
	0.4	8 ± 2	1.7 ± 0.4	6 ± 2
	0.5	16 ± 2	3.5 ± 0.1	12 ± 2
ДГ	0.2	0.3 ± 0.1	0.2 ± 0.1	0.1 ± 0.1
	0.3	2.9 ± 0.4	0.4 ± 0.1	2.5 ± 0.4
	0.4	3.3 ± 0.1	0.7 ± 0.3	2.6 ± 0.3
	0.5	6.2 ± 0.2	1.2 ± 0.1	5.0 ± 0.2
Г	0.2	1.3 ± 0.3	0.1 ± 0.1	1.2 ± 0.3
	0.3	2.8 ± 0.5	0.1 ± 0.1	2.7 ± 0.5
	0.4	8 ± 1	0.9 ± 0.2	7 ± 1
	0.5	16 ± 1	2.2 ± 0.2	14 ± 1
Ж	0.2	1.3 ± 0.1	0.1 ± 0.1	1.2 ± 0.1
	0.3	1.9 ± 0.2	0.1 ± 0.1	1.8 ± 0.2
	0.4	3.5 ± 0.4	0.4 ± 0.1	3.1 ± 0.4
	0.5	4.7 ± 0.6	0.9 ± 0.1	3.8 ± 0.6
К	0.2	1.3 ± 0.1	0.2 ± 0.1	1.1 ± 0.1
	0.3	1.9 ± 0.4	0.2 ± 0.1	1.7 ± 0.4
	0.4	2.9 ± 0.5	0.4 ± 0.1	2.5 ± 0.5
	0.5	5.4 ± 0.6	1.0 ± 0.1	4.4 ± 0.6

пользовались угли марок Б и Г. В камере устанавливалась медная пластина в непосредственной близости от места ввода излучения. После экспериментов напыленные пластины исследовались на сканирующем электронном микроскопе JEOL JSM-6390 LV.

На рис. 5 приведена микрофотография напыленного слоя после лазерного воздействия на образец угля марки Г, сделанная в обратнорассеянных электронах. Видно, что в продуктах абляции присутствуют тонкая полупрозрачная сплошная пленка и дискретные частицы разной крупности. Аналогичные микрофотографии продуктов абляции получены для угля марки Б. По ним построено распределение дискретных частиц по размерам, которое представлено на рис. 6.

Элементное картирование образцов в области дискретных частиц и области напыленной пленки в характеристических рентгеновских лучах показало, что тонкая полупрозрачная пленка состоит из атомов аморфного углерода. Состав дискретных частиц характерен для частиц углей и представлен в табл. 3 для марок Б, Г.

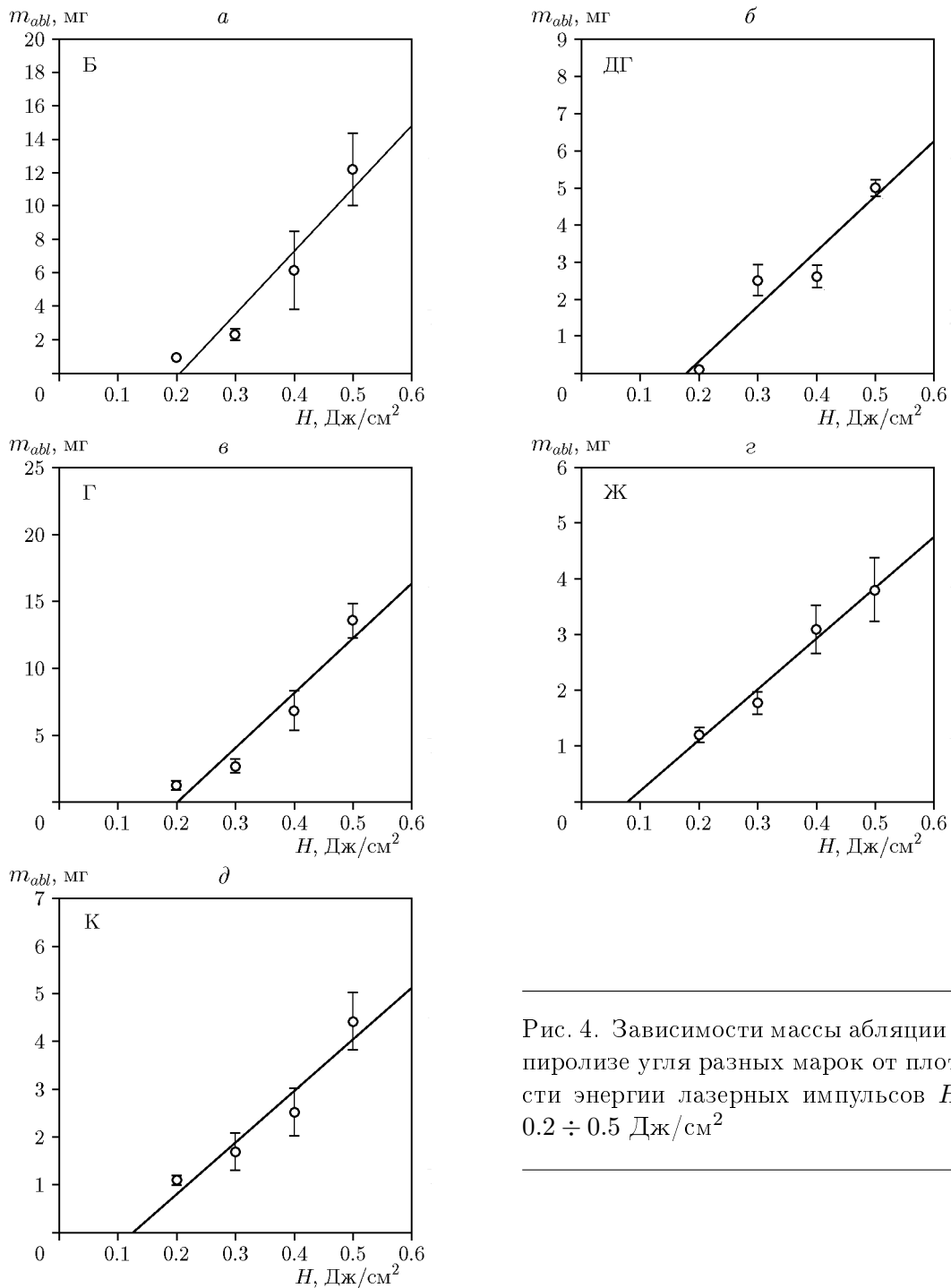


Рис. 4. Зависимости массы абляции при пиролизе угля разных марок от плотности энергии лазерных импульсов  $H = 0.2 \div 0.5$  Дж/см<sup>2</sup>

### 3. ОБСУЖДЕНИЕ РЕЗУЛЬТАТОВ

Продуктами пиролиза исследованных марок угля в среде аргона при воздействии лазерных импульсов наносекундной длительности первой гармоники YAG:Nd<sup>3+</sup>-лазера являются газы H<sub>2</sub>, CO и CO<sub>2</sub>, C<sub>2</sub>H<sub>2</sub>, CH<sub>4</sub>, как и при воздействии второй гармоники лазера на аналогичные образцы [19, 21]. Из результатов, представленных на рис. 2, видно, что давление газообразных продуктов пиролиза  $p$  возрастает при фиксированной плотности

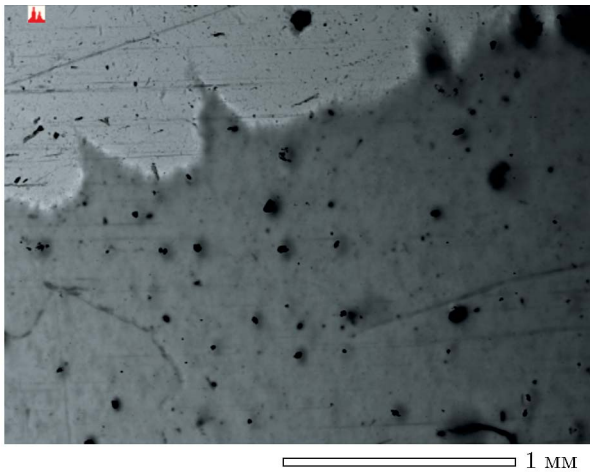


Рис. 5

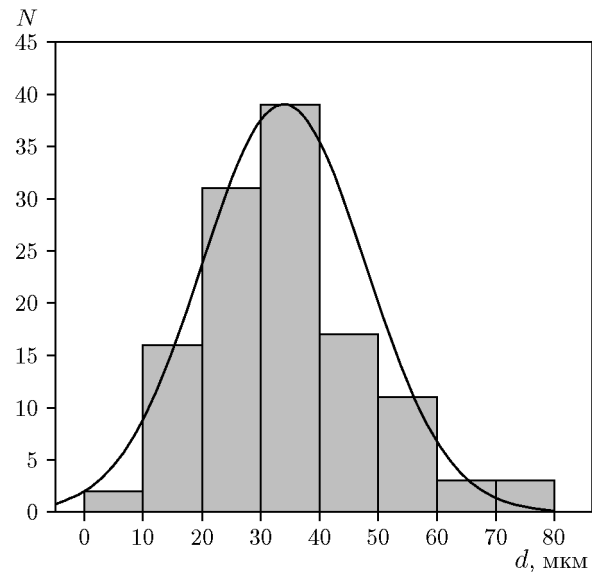


Рис. 6

Рис. 5. Микрофотография частиц угля, напыленных на подложку, при пиролизе угля марки Г под воздействием лазерного излучения с плотностью энергии  $H = 0.5 \text{ Дж}/\text{см}^2$

Рис. 6. Гистограмма распределения дискретных частиц угля, напыленных на подложку, при пиролизе угля марки Б под воздействием лазерного излучения с плотностью энергии  $H = 0.5 \text{ Дж}/\text{см}^2$

Таблица 3

Элементный состав частиц углей, напыленных на подложку ( $H = 0.5 \text{ Дж}/\text{см}^2$ ), после окончания лазерного воздействия

Марка угля	C, %	O, %	Al, %	Si, %	S, %	Cl, %	Fe, %
Г	93.6	5.8	0.1	0.1	0.2	0.1	0.1
Б	88.5	10.8	0.4	0.1	0.2	0.1	0.1

энергии с увеличением времени (ростом дозы) облучения, а при фиксированном моменте времени (дозе облучения) увеличивается с ростом плотности энергии лазерных импульсов  $H$ .

Лазерное излучение поглощается в поверхностном слое образца угля толщиной  $\approx 1 \text{ мкм}$  [25]. Происходит нагрев поверхностного слоя образца с дальнейшим распространением тепла в объем образца в течение  $\approx 10^{-3} \text{ с}$  [25]. Однако во временном интервале  $\approx 10^{-8} \div 10^{-6} \text{ с}$  термохимические реакции протекают в нагретом облученном слое образца, что и приводит к образованию экспериментально наблюдаемых продуктов пиролиза. Таким образом, все процессы являются нестационарными, протекают в поверхностном слое, претерпевающем термическое разложение по мере облучения.

Из результатов, представленных на рис. 3, следует, что концентрации газообразных продуктов  $\text{H}_2$ ,  $\text{CO}$  и  $\text{CO}_2$  увеличиваются нелинейно с ростом плотности энергии лазерных импульсов. Для объяснения нелинейного характера этого увеличения мы предлагаем следующую модель.

Как показано в работах [26, 27] и нашей работе [28], на поверхности угольных частиц

имеются реакционно-активные центры — выступы микронных размеров. Экспериментально показано, что при воздействии лазерных импульсов неодимового лазера ( $\lambda = 1064$  нм,  $\tau = 120$  мкс) при плотности энергии излучения  $H_{cr}^1 = 0.5$  Дж/см<sup>2</sup> происходит зажигание отдельных микровыступов в виде факелов микронных размеров [28]. При увеличении плотности энергии излучения число зажигаемых микровыступов растет, и при  $H = H_{cr}^2$  наблюдается зажигание всей поверхности угольного образца при  $T \approx 3000$  К с последующим выходом и зажиганием летучих соединений [28, 29].

При использовании лазерных импульсов длительностью  $\tau = 12$  нс ( $\lambda = 1064$  нм) в работе [30] показано, что при  $H_{cr} \approx 0.15 \div 0.2$  Дж/см<sup>2</sup> в таблетированных образцах углей плотностью  $\rho = 1$  г/см<sup>3</sup> с размерами частиц  $0.5 \div 63$  мкм происходит оптический пробой и образуется лазерно-индуцированная плазма. Здесь работает следующий механизм. В поле лазерного излучения микровыступы нагреваются до температур, превышающих среднюю температуру образца, как и в случае микросекундных импульсов. В результате нагрева микровыступов «затравочные» электроны выходят на фронт лазерного импульса. При  $H \cong 0.15 \div 0.2$  Дж/см<sup>2</sup> эти электроны нагреваются в электрическом поле электромагнитной волны и идет лавинное (цепное) их размножение. При достижении критической концентрации электронов в лавине на фронте лазерного импульса происходит оптический пробой окружающей среды и поверхности образца, сопровождающийся сплошным спектром излучения и образованием лазерно-индуцированной плазмы с линейчатым спектром в результате испарения и выноса вещества из материала мишени (из каналов пробоя).

Здесь важно отметить, что наиболее вероятно каналы пробоя образуются на вышеописанных микровыступах. Увеличение плотности энергии  $H > H_{cr}$  ведет как к увеличению числа электронов в электронной лавине, так и к увеличению числа каналов пробоя, по всей видимости, по нелинейному закону.

В работе [31] мы наблюдали нелинейную зависимость интенсивности свечения лазерно-индуцированной плазмы от плотности энергии лазерных импульсов. Исходя из цепного характера размножения для концентрации электронов в лавине в зависимости от плотности энергии лазерного излучения  $H$ , получено выражение [31]

$$n(H) = c(\exp(\alpha H) - 1), \quad (6)$$

где  $\alpha$  — энергетическая постоянная развития электронной лавины, см<sup>2</sup>/Дж;  $c$  — константа, не зависящая от  $H$ , см<sup>-3</sup>.

Очевидно, что все вышеописанные эффекты надо связывать не с плотностью энергии излучения, а с интенсивностью, так как в случае длительности импульсов излучения  $\tau = 120$  мкс при плотности энергии  $H = 0.1 \div 10$  Дж/см<sup>2</sup> наблюдается только зажигание угольных образцов, но отсутствуют оптический пробой и образование лазерно-индуцированной плазмы. Интенсивность излучения при  $H_{cr} = 0.2$  Дж/см<sup>2</sup> для наносекундных импульсов ( $\lambda = 1064$  нм,  $\tau = 10$  нс) составляет  $I = 2 \cdot 10^7$  Вт/см<sup>2</sup>, для импульса с  $\tau = 100$  мкс и  $H = 1$  Дж/см<sup>2</sup> интенсивность равна  $I = 10^4$  Вт/см<sup>2</sup>. Следует отметить, что экспериментально определяемая величина  $I$  является средней по поверхности образца, а каналы пробоя сосредоточены на микровыступах малых размеров, в окрестности которых амплитуда напряженности электрического поля электромагнитной волны повышается. В каналах пробоя температура может достигать очень высоких значений [32, 33]. В связи с этим в областях пробоя, т. е. на микровыступах, идет интенсивное испарение угольного вещества и образуется лазерно-индуцированная плазма, включающая в себя как атомы C, C<sup>+</sup>, C<sup>2+</sup>, H, O, так и молекулы и радикалы CN, CO, C<sub>2</sub>, OH, которые наблюдались различными авторами в экспериментах, использующих лазерно-индуцированную искровую спектроскопию (см., например, [34]).

Измерение амплитуды различных линий и полос свечения или формы колебательного спектра молекул позволяет определить температуру плазмы. В работе [32] образование лазерно-индукционной плазмы в графите при воздействии импульсов СО<sub>2</sub>-лазера ( $\lambda = 9.621$  мкм,  $\tau = 64$  нс) исследовали по спектрам свечения, измеренным через 1 мкс после лазерного импульса. В предположении локального термодинамического равновесия в плазме с учетом экспериментальных данных по уравнению Больцмана рассчитана температура плазмы  $T = 23\,000 \pm 1\,900$  К при  $H = 10$  Дж/см<sup>2</sup> ( $I = 1.56 \cdot 10^8$  Вт/см<sup>2</sup>). В работе [33] такие же исследования на графите проводились с использованием неодимового лазера ( $\lambda = 1064$  нм,  $\tau = 10$  нс,  $I = 1.5 \cdot 10^9$  Вт/см<sup>2</sup>). Температура плазмы, рассчитанная по формуле Саха — Больцмана, составляла  $T = 8\,343$  К. Температура, рассчитанная по форме колебательного спектра молекулы CN, достигала  $T = 8\,490$  К. Отметим, что при использованных в этих работах плотностях энергии оценка средней по поверхности температуры составляет  $T \approx 3\,000$  К.

Можно достаточно уверенно предполагать, что после выхода электронов в результате развития электронной лавины на микровыступах в макромолекулах углей образуются положительно заряженные радикалы, число которых коррелирует с числом электронов, вышедших в лавину. Эти радикалы могут стать центрами развития различных термохимических реакций в условиях высоких температур, в результате которых образуются наблюдаемые газообразные продукты пиролиза. В этом случае зависимость концентрации таких центров от плотности энергии лазерного излучения должна описываться таким же законом, как и концентрация электронов, вышедших в лавину, т. е. выражением (6).

Предполагаем также, что концентрация образующихся при пиролизе газообразных продуктов пропорциональна концентрации исходных центров развития термохимических реакций. При выполнении этого предположения выход каждого газа  $i$ -го сорта в зависимости от плотности энергии лазерного излучения будет описываться законом, аналогичным (6):

$$n_i(H) = c_i(\exp(\alpha_i H) - 1), \quad (7)$$

где  $n_i(H)$  — концентрация газа  $i$ -го сорта, связанная с увеличением концентрации центров инициирования термохимических реакций в результате развития электронной лавины,  $\alpha_i$  — энергетическая постоянная термохимической реакции, приводящей к образованию газообразного продукта пиролиза  $i$ -го сорта,  $c_i$  — константа, не зависящая от  $H$ . В выражении (7) имеется два подгоночных параметра. При обработке подбирались одинаковые значения  $\alpha_i$  для Н<sub>2</sub> и CO, но разные для разных марок угля и подгонялись параметры  $c_i$ . Критериями подгонки служили разумные значения  $c_i$ .

Сплошные кривые на рис. 3 для Н<sub>2</sub>, CO и СО<sub>2</sub> построены с помощью выражения (7) при значениях параметров  $c_i$  и  $\alpha_i$ , представленных в табл. 4, которые удовлетворительно аппроксимируют точки, рассчитанные по результатам экспериментов. С точностью до выбранного метода подгонки параметров  $c_i$  и  $\alpha$  можно предположить, что газы Н<sub>2</sub> и CO могут быть продуктами одной и той же термохимической реакции.

Анализ зависимости выхода газообразных продуктов для различных марок углей позволяет установить связь этих величин с техническими и генетическими характеристиками углей.

На рис. 7 представлены концентрации Н<sub>2</sub> и CO для различных марок угля в зависимости от параметров  $C^{daf}$ ,  $V^{daf}$ , H/C, O/C и  $f_a$  (см. табл. 1). Видно, что выход синтез-газа уменьшается с ростом зрелости углей, что обусловлено уменьшением числа алифатических групп в органической массе углей [35], при пиролизе которых образуются наблюдаемые газы. Уменьшение выхода CO происходит значительно быстрее, чем уменьшение Н<sub>2</sub>. По-видимому, это связано с более резким уменьшением кислорода, чем водорода, в углях при переходе от марки Б к марке К (см. табл. 1).

Таблица 4

Параметры аппроксимирующих зависимостей концентрации газообразных продуктов  $H_2$ ,  $CO$ ,  $CO_2$  пиролиза углей разных марок от плотности энергии лазерного излучения после окончания его воздействия

Марка	Продукт	$c_i, 10^{15} \text{ см}^{-3}$	$\alpha_i, \text{ см}^2/\text{Дж}$
Б	$H_2$	2.49	6.3
	$CO$	2.58	
	$CO_2$	2.46	4
ДГ	$H_2$	1.20	6.2
	$CO$	0.77	
	$CO_2$	0.82	4.9
Г	$H_2$	0.36	9.5
	$CO$	0.22	
	$CO_2$	—	—
Ж	$H_2$	0.18	9.5
	$CO$	0.10	
	$CO_2$	0.04	10
К	$H_2$	0.26	9.5
	$CO$	0.10	
	$CO_2$	1.11	4

Рассмотрим результаты эксперимента по абляции углей во время лазерного импульса. Абляция материала углей происходит по микровзрывному типу с образованием угольных микрочастиц и вылетом атомов углерода, создающих напыление на конструкционных материалах (см. рис. 5).

Из рис. 4 следует, что абляция угольной мишени наблюдается при превышении плотностью энергии излучения критических значений  $H = 0.1 \div 0.2 \text{ Дж}/\text{см}^2$ . Похожие результаты приведены в [36, 37], где сообщается, что абляция органических материалов при воздействии наносекундных импульсов видимого света наблюдается при плотности энергии излучения выше  $0.2 \text{ Дж}/\text{см}^2$ .

Из рис. 6 следует, что наибольшее число аблируемых частиц приходится на диапазон размеров  $10 \div 50 \text{ мкм}$ . Этот результат совпадает с оценкой размеров выброшенных частиц  $\approx 35 \text{ мкм}$  (капли воды, микрочастицы угля), полученных в работе [38] при воздействии лазерных импульсов ( $\lambda = 532 \text{ нм}$ ,  $10 \text{ нс}$ ,  $8 \text{ Гц}$ ,  $2 \div 17 \text{ Дж}/\text{см}^2$ ) на водоугольную суспензию фильтр-кеха угля Г.

Как указывалось в § 1, таблетированные образцы содержали наибольшее число частиц в диапазоне размеров  $10 \div 40 \text{ мкм}$ . Таким образом, при абляции из таблетированных образцов вылетают частицы исходного порошка.

Линейная зависимость  $t_{abl}$  от плотности энергии излучения (см. рис. 4) находится в согласии с теоретическим рассмотрением и экспериментом на графите из работы [39].

Напыление пленки из аморфного углерода связано с испарением поверхности угольных частиц по механизму, описанному в предложенной выше модели образования газообразных продуктов.

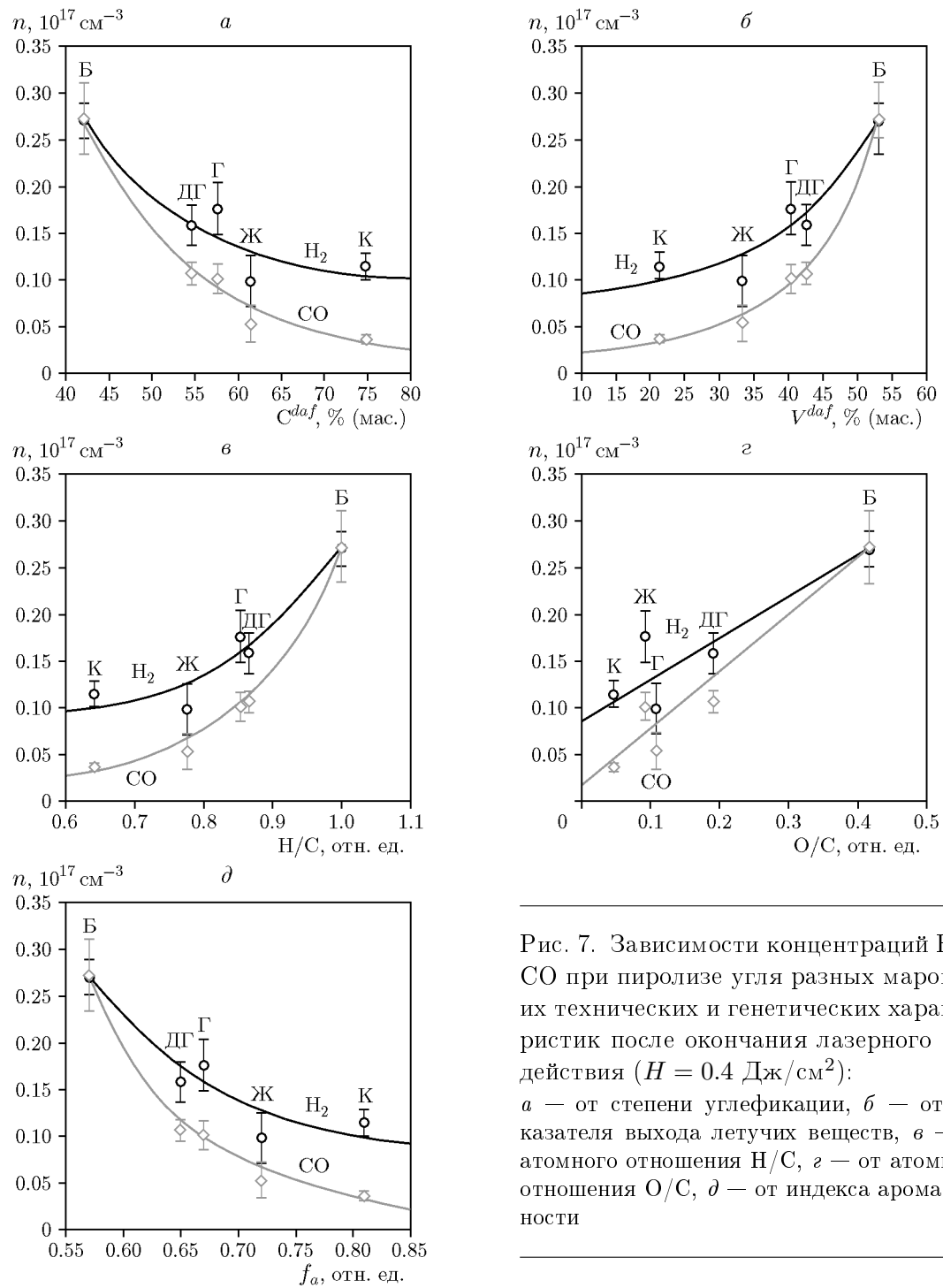


Рис. 7. Зависимости концентраций  $\text{H}_2$  и  $\text{CO}$  при пиролизе угля разных марок от их технических и генетических характеристик после окончания лазерного воздействия ( $H = 0.4 \text{ Дж}/\text{см}^2$ ):  
 а — от степени углефикации, б — от показателя выхода летучих веществ, в — от атомного отношения  $\text{H/C}$ , г — от атомного отношения  $\text{O/C}$ , д — от индекса ароматичности

## ЗАКЛЮЧЕНИЕ

- При пиролизе таблетированных образцов плотностью  $1 \text{ г}/\text{см}^3$ , изготовленных из частиц угля марок Б, ДГ, Г, ЖК и К, в среде аргона под действием лазерных импульсов ( $\lambda = 1064 \text{ нм}, 12 \text{ нс}, 6 \text{ Гц}, 0.1 \div 0.5 \text{ Дж}/\text{см}^2$ ) обнаружены следующие газообразные продукты:  $\text{H}_2$ ,  $\text{C}_2\text{H}_2$ ,  $\text{CH}_4$ ,  $\text{CO}$  и  $\text{CO}_2$ .

2. Во время лазерного импульса происходит абляция вещества углей с выбросом микрочастиц исходного порошка при достижении плотности энергии  $H \geq 0.1 \div 0.2 \text{ Дж/см}^2$  и испарении углерода с напылением на стенки экспериментальной камеры. Величина аблированной массы  $m_{abl}$  линейно возрастает с ростом плотности энергии излучения.

3. В результате нелинейных процессов ионизации, развития электронной лавины и оптического пробоя при воздействии на угольные частицы лазерным излучением ( $\lambda = 1064 \text{ нм}, \tau = 12 \text{ нс}, H \geq 0.2 \text{ Дж/см}^2$ ) в макромолекулах углей в области каналов оптического пробоя образуются радикальные центры, в окрестностях которых развиваются термохимические реакции, приводящие к наблюдаемым зависимостям выхода пиролитических газов.

4. Концентрация синтез-газа, образующегося в результате лазерного пиролиза различных марок углей при облучении одинаковыми дозами, убывает с ростом зрелости углей.

## ФИНАНСИРОВАНИЕ РАБОТЫ

Работа выполнена в рамках государственного задания Федеральному исследовательскому центру угля и углехимии СО РАН (номер госрегистрации 124041100056-6).

## ЛИТЕРАТУРА

- Hu H. Q., Zhou Q., Zhu S. W., Meyer B., Krzack S., Chen G. H** Product distribution and sulfur behavior in coal pyrolysis // Fuel Process. Technol. — 2004. — V. 85, N 8-10. — P. 849–861. — DOI: 10.1016/j.fuproc.2003.11.030.
- Zhao Y. P., Hu H. Q., Jin L. J., Wu B., Zhu S. W.** Pyrolysis behavior of weakly reductive coals from northwest China // Energy Fuels. — 2009. — V. 23, N 2. — P. 870–875. — DOI: 10.1021/ef800831y.
- Matsuoka K., Akiho H., Xu W. C., Gupta R., Wall T. F., Tomita A.** The physical character of coal char formed during rapid pyrolysis at high pressure // Fuel. — 2005. — V. 84, N 1. — P. 63–69. — DOI: 10.1016/j.fuel.2004.07.006.
- Li C. Z.** Some recent advances in the understanding of the pyrolysis and gasification behaviour of Victorian brown coal // Fuel. — 2007. — V. 86, N 12-13. — P. 1664–1683. — DOI: 10.1016/j.fuel.2007.01.008.
- Mushtaq F., Mat R., Ani F. N.** A review on microwave assisted pyrolysis of coal and biomass for fuel production // Renew. Sustain. Energy Rev. — 2014. — V. 39. — P. 555–574. — DOI: 10.1016/j.rser.2014.07.073.
- Saxena S. C.** Devolatilization and combustion characteristics of coal particles // Prog. Energy Combust. Sci. — 1990. — V. 16, N 1. — P. 55–94. — DOI: 10.1016/0360-1285(90)90025-X.
- Carlsen L., Christiansen J. V.** Flash pyrolysis of coals: A new approach of classification // J. Anal. Appl. Pyrolysis. — 1995. — V. 35, N 1. — P. 77–91. — DOI: 10.1016/0165-2370(95)00901-P.
- Kruse M. A., Bensley D. F.** Flash pyrolysis – gas chromatography – mass spectrometry of lower kittanning vitrinites: Changes in distributions of polyaromatic hydrocarbons as a function of coal rank // Vitrinite Reflectance as a Maturity Parameter / P. K. Mukhopadhyay, W. G. Dow (Eds.). — 1994. — V. 570. — P. 136–148. — DOI: 10.1021/bk-1994-0570.ch009.
- Granger A. F., Ladner W. R.** The flash heating of pulverized coal // Fuel. — 1970. — V. 49, N 1. — P. 17–25. — DOI: 10.1016/0016-2361(70)90004-9.
- Hanson R. L., Brookins D., Vanderburgh N. E.** Stoichiometric analysis of oil shales by laser-pyrolysis gas chromatography // Anal. Chem. — 1976. — V. 48, N 14. — P. 2210–2213. — DOI: 10.1021/ac50008a040.

11. Hanson R. L., Vanderburgh N. E., Brookins D. G. Characterization of coal by laser pyrolysis gas chromatography // Anal. Chem. — 1977. — V. 49, N 3. — P. 390–395. — DOI: 10.1021/ac50011a016.
12. Stout S. A., Hall K. Laser pyrolysis — gas chromatography/mass spectrometry of two synthetic organic polymers // J. Anal. Appl. Pyrolysis. — 1991. — V. 21, N 1-2. — P. 195–205. — DOI: 10.1016/0165-370(91)80025-4.
13. Pyatenko A. T., Bukhman S. V., Lebedinskii V. S., Nasarov V. M., Tolmachev I. Ya. Experimental investigation of single coal particle devolatilization by laser heating // Fuel. — 1992. — V. 71, N 6. — P. 701–704. — DOI: 10.1016/0016-2361(92)90175-N.
14. Maswadeh W., Arnold N. S., McClennen W. H., Tripathi A., DuBow J., Meuzelaar H. L. C. Development of a laser devolatilization gas chromatography/mass spectrometry technique for single coal particles // Energy Fuels. — 1993. — V. 7, N 6. — P. 1006–1012. — DOI: 10.1021/ef00042a044.
15. Karn F. S., Friedel R. A., Sharkey A. S., Jr. Studies of the solid and gaseous products from laser pyrolysis of coal // Fuel. — 1972. — V. 51, N 2. — P. 113–115. — DOI: 10.1016/0016-2361(72)90059-2.
16. Li Y., Hua F., An H., Cheng Y. Experimental study of laser pyrolysis of coal and residual oil // Fuel. — 2021. — V. 283. — 119290. — DOI: 10.1016/j.fuel.2020.119290.
17. Крафт Я. В., Нурмухаметов Д. Р., Адуев Б. П., Исмагилов З. Р. Пиролиз Кайчакского бурого угля под воздействием лазерного излучения // Вестн. КузГТУ. — 2019. — № 3. — С. 5–16. — DOI: 10.26730/1999-4125-2019-3-5-15.
18. Крафт Я. В., Адуев Б. П., Волков В. Д., Исмагилов З. Р. Масс-спектрометрическое исследование состава газообразных продуктов лазерного пиролиза углей // Физика горения и взрыва. — 2023. — Т. 59, № 3. — С. 89–99. — DOI: 10.15372/FGV20230308. — EDN: QXDMKD.
19. Крафт Я. В., Адуев Б. П., Нелюбина Н. В., Волков В. Д., Исмагилов З. Р. Пиролиз бурого угля под воздействием частотноимпульсного наносекундного лазерного излучения // Химия в интересах устойчивого развития. — 2022. — Т. 30, № 5. — С. 517–525. — DOI: 10.15372/KhUR2022409. — EDN: TWQKZH.
20. Kraft Ya. V., Aduev A. B., Nelyubina N. V., Volkov V. D., Ismagilov Z. R. Pyrolysis of high volatile C bituminous coal under the action of nanosecond laser radiation // Eurasian Chem.-Technol. J. — 2022. — V. 24, N 3. — P. 173–181. — DOI: 10.18321/ectj1430.
21. Крафт Я. В., Адуев Б. П., Нелюбина Н. В., Волков В. Д., Исмагилов З. Р. Пиролиз каменных углей под воздействием наносекундного лазерного излучения // Кокс и химия. — 2023. — № 9. — С. 8–17. — DOI: 10.52351/00232815\_2023\_03\_8. — EDN: MSMINE.
22. Pat. CN101216185A. Pulverized coal boiler ignition and stable burning device and its use method / Han J., Guo W., Yang Q. — Appl. 16.01.2008, publ. 09.07.2008.
23. Пат. РФ 2350643 С1. Способ получения кокса и устройство для его осуществления / Косярев А. И., Шипимиров М. В., Якушев А. М. — Заявл. 26.12.2007, опубл. 27.03.2009.
24. Добронравов В. Ф. Действительная плотность углей, измеренная в воде, как функция их элементного состава // Химия твердого топлива. — 1983. — № 2. — С. 13–18.
25. Адуев Б. П., Нурмухаметов Д. Р., Крафт Я. В., Исмагилов З. Р. Особенности импульсного лазерного зажигания микрочастиц угля // Физика горения и взрыва. — 2022. — Т. 58, № 5. — С. 115–124. — DOI: 10.15372/FGV20220514. — EDN: XBPKR.
26. Погодаев В. А. Частица каменного угля в интенсивном лазерном пучке // Физика горения и взрыва. — 1984. — Т. 20, № 1. — С. 51–55.
27. Song Q., Zhao H., Jia J., Yang L., Lv W., Gu Q., Shu X. Effects of demineralization on the surface morphology, microcrystalline and thermal transformation characteristics of coal // J. Anal. Appl. Pyrolysis. — 2020. — V. 145. — 104716. — DOI: 10.1016/j.jaap.2019.104716.

28. **Aduev B. P., Kraft Ya. V., Nurmukhametov D. R., Ismagilov Z. R.** A study on the ignition of different metamorphic grade coal particles by microsecond laser pulses in the free-running mode // Combust. Sci. Technol. — 2024. — V. 196, N 2. — P. 274–288. — DOI: 10.1080/00102202.2022.2075699.
29. **Адуев Б. П., Нурмухаметов Д. Р., Волков В. Д., Крафт Я. В., Исмагилов З. Р.** Спектрально-кинетические характеристики свечения пламени и плазмы бурого угля после воздействия лазерного излучения высокой плотности мощности // Журн. прикл. спектроскопии. — 2023. — Т. 9, № 4. — С. 614–621.
30. **Адуев Б. П., Нурмухаметов Д. Р., Белоуров Г. М., Крафт Я. В., Исмагилов З. Р.** Зажигание каменных углей лазерными импульсами в режиме модуляции добротности // Химия твердого топлива. — 2021. — № 3. — С. 65–70. — DOI: 10.31857/S0023117721030026. — EDN: CGPYMM.
31. **Адуев Б. П., Волков В. Д.** Пиролиз микрочастиц бурого угля, инициируемый воздействием импульсов наносекундной длительности первой гармоники неодимового лазера // Квант. электроника. — 2023. — Т. 53, № 9. — С. 731–737.
32. **Camacho J. J., Díaz L., Santos M., Reyman D., Poyato J. M. L.** Optical emission spectroscopic study of plasma plumes generated by IR CO<sub>2</sub> pulsed laser on carbon targets // J. Phys. D: Appl. Phys. — 2008. — V. 41, N 10. — 105201. — DOI: 10.1088/0022-3727/41/10/105201.
33. **Han W., Wang Y., Yin Y., Li X., Sun D., Su M.** Analysis of metal elements contained in graphite target coated with Chinese medicinal material nanoparticles using LIBS // Front. Phys. — 2022. — V. 10. — 862578. — DOI: 10.3389/fphy.2022.862578.
34. **Cai J., Dong M., Zhang Y., Chen Y., Liang Y., Lu J.** Temporally and spatially resolved study of laser-induced plasma generated on coals with different volatile matter contents // Spectrochim. Acta. Pt B: At. Spectrosc. — 2021. — V. 180. — 106195. — DOI: 10.1016/j.sab.2021.106195.
35. **Geng W., Nakajima T., Takanashi H., Ohki A.** Analysis of carboxyl group in coal and coal aromaticity by Fourier transform infrared (FT-IR) spectrometry // Fuel. — 2009. — V. 88, N 1. — P. 139–144. — DOI: 10.1016/j.fuel.2008.07.027.
36. **Körner C., Mayerhofer R., Hartmann M., Bergmann H. W.** Physical and material aspects in using visible laser pulses of nanosecond duration for ablation // Appl. Phys. A. — 1996. — V. 63, N 2. — P. 123–131. — DOI: 10.1007/BF01567639.
37. **Chichkov B. N., Momma C., Nolte S., von Alvensleben F., Tünnermann A.** Femtosecond, picosecond and nanosecond laser ablation of solids // Appl. Phys. A. — 1996. — V. 63, N 2. — P. 109–115. — DOI: 10.1007/BF01567637.
38. **Зайцев А. С., Егоров Р. И., Ткаченко П. П., Белоногов М. В.** Газификация водоугольных композиций лазерными импульсами различной интенсивности // Химия твердого топлива. — 2019. — № 1. — С. 54–60. — DOI: 10.1134/S0023117719010109. — EDN: VTBBPQ.
39. **Булгаков А. В., Булгакова Н. М.** Тепловая модель импульсной лазерной абляции в условиях образования и нагрева плазмы, поглощающей излучение // Квант. электроника. — 1999. — Т. 27, № 2. — С. 154–158. — DOI: 10.1070/QE1999v02n05ABEH001503.

Поступила в редакцию 08.11.2023.

После доработки 06.02.2024.

Принята к публикации 07.02.2024.